

## ضرایب انعطاف‌پذیری و تمرکز تنش در زانویی‌ها تحت بارگذاری مرکب

خسرو نادران طحان (دانشیار)

محمد شیشه‌ساز (استاد)

محسن هینایی‌فر (کارشناس ارشد)

دانشکده‌ی هندسی، گروه هندسی مکانیک، دانشگاه شهید چمران اهواز

رفتار سازی زانویی‌ها به عنوان بخشی از یک لوله‌ی خنیده، تحت بارگذاری‌های خمشی درون‌صفحه‌یی و برون‌صفحه‌یی (بدون فشار داخلی یا همراه با آن) بررسی شده است. ضرایب انعطاف‌پذیری و تمرکز تنش به عنوان مشخصه‌های این عضو، تحت بارگذاری‌های یادشده مورد بررسی قرار گرفت و تغییرات آن‌ها با پارامترهای هندسی و نیز شرایط بارگذاری با استفاده از روش اجزاء محدود ارزیابی، و نتایج حاصله به صورت نمودار ارائه شد. همچنین نتایج حاصل از بررسی حاضر با نتایجی که از روابط تقریبی و دستورالعمل‌های موجود در منابع دیگر به دست می‌آیند مقایسه و موارد انطباق یا اختلاف نشان داده شده است.

naderan\_k@scu.ac.ir  
mshishehsaz@scu.ac.ir  
m.minaefar@ksc.ir

واژگان کلیدی: زانویی، خمش درون‌صفحه‌یی، انعطاف‌پذیری، تمرکز تنش،  
بارگذاری مرکب.

### ۱. مقدمه

بارگذاری‌های خمشی، دلالت ندادن زاویه‌ی مرکزی خم، صرف‌نظر کردن از تأثیر تنفس طولی و یا کرنش محیطی در انعطاف‌پذیری، صرف‌نظر کردن از تأثیر شرایط مرزی در دو انتهای زانویی، کوچک‌بودن تغییر مکان‌ها و کشسان خطی بودن ماده — روابطی تقریبی برای محاسبه‌ی انعطاف‌پذیری، تنش‌ها و کرنش‌ها ارائه دهنده.<sup>[۱-۲]</sup> اگرچه در مواردی تقریب‌های انعطاف‌پذیری و تنش در مقایسه با نتایج تجربی قابل قبول گزارش شده‌اند،<sup>[۳]</sup> در مواردی نیز اختلاف بین تنش‌های تجربی و نظری تا دو برابر نیز گزارش شده، بدون این که منبع این اختلاف معلوم شود.<sup>[۴]</sup> به لحاظ اهمیتی که طراحی صحیح این عضو در عملکرد این‌ینی یک سیستم لوله‌کشی دارد، انجمن مهندسان مکانیک آمریکا (ASME)، با تدوین دستورالعمل B31.7 در سال ۱۹۶۹ بدون در نظر گرفتن زاویه‌ی خم، ساختهای را برای پارامترهای هندسی به‌منظور محاسبه‌ی ضرایب انعطاف‌پذیری و تمرکز تنش (نسبت تنش بیشینه به تنش ایمنی) در زانویی‌ها در نظر گرفت.<sup>[۵-۶]</sup>

استفاده از روش اجزاء محدود برای تجزیه و تحلیل تنش و انعطاف‌پذیری زانویی‌ها، تا حد زیادی محدودیت‌های یادشده را برطرف کرده است. محققین زیادی تلاش کرده‌اند با به‌کارگیری این روش، علاوه بر ارزیابی دقت روابطی که در منابع و دستورالعمل‌های قدیمی وجود دارد، اطلاعات دقیق‌تری از انعطاف‌پذیری و تمرکز تنش و به‌طور کلی رفتار سازه‌ی زانویی‌ها به دست آورند.<sup>[۷-۸]</sup> در این بررسی‌ها زانویی‌ها تحت فشار داخلی، خمش درون‌صفحه‌یی، خمش برون‌صفحه‌یی برای زانویی‌های صاف و چندتکه<sup>[۹]</sup> با فرض جابه‌جاگی‌های کوچک و بزرگ و رفتار کشسان مورد توجه قرار گرفته‌اند. شرایط مرزی دو انتهای زانویی نیز در بعضی از بررسی‌ها در نظر

سیستم‌های لوله‌کشی بخش مهمی از تأسیسات صنعتی‌اند. در چنین سیستم‌هایی مسیرهای مستقیم دارای اولویت‌اند ولی ضرورت‌هایی ایجاد می‌کند تا مسیر لوله‌ها به‌کمک زانویی‌ها تغییر کند. زانویی‌های ساده‌اغلب قسمتی از یک لوله‌ی خمیده‌اند که علاوه بر این که تحت فشار داخلی قرار دارند، به‌خطاط انبساط و انقباض حرارتی لوله‌های مستقیم در معرض گشتاورهای درون‌صفحه‌یی، برون‌صفحه‌یی و پیچش نیز قرار می‌گیرند. ویرگی سازه‌یی این اجزا این است که در خمش، نسبت به لوله‌های مستقیم مجاور، انعطاف‌پذیری بیشتری دارند. انعطاف‌پذیری یک لوله‌ی مستقیم با خمیده در یک مقطع عبارت است از تغییر مکان زاویه‌یی آن مقطع به‌ازاء گشتاور خمشی واحد در آن مقطع ضریب انعطاف‌پذیری زانویی به صورت نسبت انعطاف‌پذیری آن به انعطاف‌پذیری لوله‌ی مستقیمی که طول آن برابر طول زانویی، و با همان قطر و ضخامتی که تحت گشتاور خمشی یکسان قرار گرفته‌اند، تعریف می‌شود. علت این ویژگی که در اوایل قرن بیست مورد توجه قرار گرفت، ناشی از امکان پیشوایشدن یا دوپهن شدن مقطع تشخیص داده شد. بعد‌ها جنبه‌های مختلف عملکرد این عضو در یک سیستم لوله‌کشی بیشتر مورد بررسی قرار گرفت.<sup>[۱]</sup> تا قبل از این که روش اجزاء محدود برای تجزیه و تحلیل زانویی‌ها به‌کار گرفته شود، محققان با در نظر گرفتن آن به عنوان قسمتی از یک چنبره (توروبید)، سعی کرده‌اند با استفاده از فرضیات ساده‌کننده — نظیر بزرگ‌بودن شعاع چنبره نسبت به شعاع مقطع، نازک‌بودن ضخامت جداره نسبت به شعاع مقطع، دایره ماندن مقطع تحت

که حاصل این گونه ساده‌سازی‌های هستند، برای مقایسه‌ی نتایج حاصل از روش اجراء محدود در بررسی حاضر و بدون اثبات ارائه می‌شوند.

## ۱.۲. انعطاف‌پذیری

الف) خمس درون‌صفحه‌یی: ضریب انعطاف‌پذیری پیش‌تر در بخش ۱ تعریف شده است. این ضریب به شکل‌های دیگری نیز تعریف می‌شود که عموماً قوایعی از گروه بدون بعد  $tR/r^2 = h$  به نام «ضریب زانویی»‌اند، که به بعضی از آنها اشاره می‌شود.

طبق تعریف، ضریب انعطاف‌پذیری زانویی ( $K$ ) عبارت است از نسبت تغییر شعاع انحنای لوله‌ی خمیده به تغییر انحنای لوله‌ی مستقیم معادل (لوله‌یی که طول آن برابر طول زانویی و شعاع مقطع و ضخامت آن نیز برابر شعاع مقطع و ضخامت زانویی است) هنگامی که تحت گشتاور خمشی یکسانی قرار گرفته باشند:<sup>[۱]</sup>

$$K = 1 + \frac{3}{4} \cdot \frac{1 - \nu^2}{h^2} \cdot K' + K'' \quad (1)$$

$K$  و  $K''$  ضرایبی هستند که به بستگی دارند و مقدیرشان از نمودارهای موجود<sup>[۱]</sup> قابل محاسبه است. تعریف دیگر این ضریب بر حسب گشتاورهایی است که به زانویی و لوله‌ی مستقیم معادل وارد وارد می‌شود و در دو انتهای این اجزا چرخش‌هایی یکسان به وجود می‌آورد. اگر  $M_s$  ممان وارد بر لوله‌ی مستقیم معادل و  $M_c$  ممان وارد بر زانویی باشد، از تعریف بیان شده در بخش ۱ نتیجه می‌شود:<sup>[۲]</sup>

$$K = \frac{M_s}{M_c} \quad (2)$$

شکل دیگر این ضریب که از تعریف یادشده در بخش ۱ نتیجه می‌شود بر حسب تغییرمکان زاویه‌یی دو انتهای زانویی و لوله‌ی مستقیم معادل به ازاء گشتاورهای خمشی یکسان به صورت زیر بیان می‌شود:<sup>[۳]</sup>

$$K = \frac{\Delta\psi}{\Delta\psi_{nom}} \quad (3)$$

که در آن  $\psi$   $\Delta\psi_{nom}$  زاویه‌های چرخش به ترتیب در زانویی و لوله‌ی مستقیم معادل است. اگر  $\psi = R\psi_{eq}$  طول لوله‌ی مستقیم معادل،  $M$  گشتاور خمشی وارد به انتهای لوله و زانویی،  $I$  ممان اینرسی دوم مقطع لوله و  $E$  مدول یانگ آن باشد، آنگاه:

$$\Delta\psi_{nom} = \frac{ML_{eq}}{EI} \quad (4)$$

اگر ضریب زانویی و شعاع خم بزرگ باشند مقدار تقریبی ضریب انعطاف‌پذیری از رابطه‌ی ۵ محاسبه می‌شود:<sup>[۴]</sup>

$$K = \frac{12h^2 + 10}{12h^2 + 1} \quad (5)$$

اگر نسبت  $1/7 < R/r < 4r$  و تا فاصله‌ی  $r$  از دو انتهای زانویی هیچ‌گونه عضو کاهنده‌ی انعطاف‌پذیری زانویی (نظر فلنچ) وجود نداشته باشد، ضریب انعطاف‌پذیری را می‌توان از رابطه‌ی ۶ محاسبه کرد:<sup>[۵]</sup>

$$K = 1,65/h \quad (6)$$

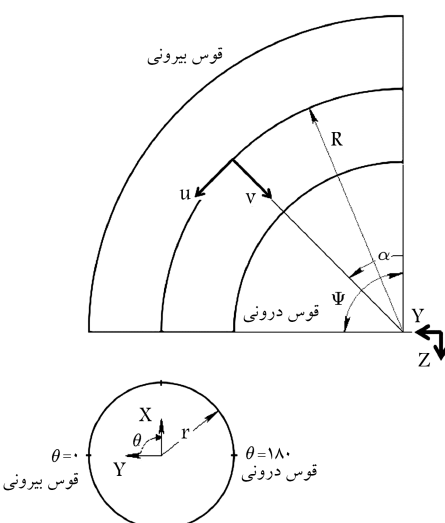
اگر زانویی از دو طرف به طول  $L \geq 7r$  امتداد داشته باشد و گشتاور درون‌صفحه‌یی

گرفته شد،<sup>[۶]</sup> عده‌یی از محققین رفتارهای غیرخطی مواد و هندسه را نیز به‌کمک این روش بررسی کرده‌اند.<sup>[۷-۱۰]</sup> اخیراً مباحثت جدیدتری با هدف ارزیابی مقاومت زانویی‌ها تحت بارهای متغیر، هنگامی که نقاطی از آن دچار تغییر شکل خمیری شده‌اند، نیز مطرح شده است.<sup>[۱۱]</sup>

در بررسی حاضر ضریب انعطاف‌پذیری برای زانویی‌هایی که تحت فشار داخلی ممان‌های خشنی درون‌صفحه‌یی و برون‌صفحه‌یی قرار گرفته باشند، به‌کمک روش اجزاء محدود محاسبه و به صورت نمودار ارائه شده است. دقیق بعضی روابط نظری و نیز دستورالعمل موجود برای محاسبه‌ی این ضریب، ارزیابی و تأثیر زاویه‌ی خم بر آن و تغییرات آن هنگامی که زانویی به‌طور هم‌زمان تحت فشار داخلی و ممان خمی درون‌صفحه‌یی و برون‌صفحه‌یی قرار گرفته باشد، مطالعه شده است. همچنین ضرایب تمرکز تنش برای محدوده‌ی وسیعی از پارامترهای هندسی برآورده، و به صورت نمودار ارائه شده‌اند. رفتار ماده به صورت کشسان خطی در نظر گرفته شده و از تأثیر شرایط مرزی دو سر زانویی صرف‌نظر شده است. در محاسبه‌ی انعطاف‌پذیری لوله‌ی مستقیم، بیضوی شدن مقطع آن نادیده گرفته شده است. ضخامت جداره‌ی زانویی ثابت، بدون تنش اولیه و همگن فرض شده و مقطع آن نیز در حالت بدون بار به صورت دایره در نظر گرفته شده است.

## ۲. مبانی نظری

پارامترهای هندسی زانویی عبارت‌اند از: شعاع متوسط محور زانویی ( $R$ )، شعاع متوسط مقطع ( $\Psi$ )، ضخامت ( $t$ ) و زاویه‌ی مرکزی زانویی ( $\psi$ ). در شکل ۱ قسمتی از یک زانویی با لوله‌ی خمیده و پارامترهای هندسی آن، دستگاه مختصات محلی و کلی، و متغیرهای طولی ( $\alpha$ ) و نصف‌نهاری یا محیطی ( $\theta$ ) نشان داده شده است. معادلات حاکم بر یک المان از زانویی با فرض نازک‌بودن آن، هنگامی که زانویی تحت فشار داخلی یا ممان خمشی و یا هر دو قرار گرفته باشد به عنوان قسمتی از یک چنبره در منابع مختلف استخراج شده است.<sup>[۱۱-۱۹]</sup> برای حل این معادلات و بدست آوردن تنش‌ها و تغییرمکان‌ها، باید ساده‌سازی‌های هندسی قابل ملاحظه‌یی انجام شود تا بتوان این کمیت‌ها را با تقریب به دست آورد. بعضی روابط انعطاف‌پذیری



شکل ۱. پارامترهای هندسی، دستگاه مختصات محلی و کلی.

است.<sup>[۲۱]</sup> برای محاسبه‌ی تنش روی سطوح بیرونی و داخلی زانویی روابط ۱۲ و ۱۳ ارائه شده‌اند:<sup>[۱]</sup>

$$\sigma_\alpha = \sum_{n=1,3,\dots} \frac{M}{\pi tr} n c_n \sin(n\theta) \quad (12)$$

$$\sigma_\theta = \pm \sum_{n=1,3,\dots} \frac{3M}{\pi R t^r} c_n \left( \frac{\cos(n+1)\theta}{n+1} - \frac{\cos(n-1)\theta}{n-1} \right) \quad (13)$$

علامت + نشان‌گر سطح بیرونی و علامت - نشان‌گر سطح داخلی است، به‌کمک منحنی‌هایی که برای این منظور رسم شده‌اند محاسبه می‌شوند. همچنین در روابط پیشنهادی ۱۴ و ۱۵<sup>[۲]</sup> از این روابط در میان ۶ روابط مذکور در آن می‌باشد.

$$\frac{\sigma_\alpha}{\sigma_0} = \left[ \left( \frac{12h^r + 10}{12h^r + 1} \right) \cos \theta - \left( \frac{12}{12h^r + 1} \right) \cos^2 \theta \right] \\ \pm \frac{3}{2} \nu \left( \frac{12h}{12h^r + 1} \right) \cos 2\theta \quad (14)$$

$$\frac{\sigma_\theta}{\sigma_0} = \nu \left[ \left( \frac{12h^r + 10}{12h^r + 1} \right) \cos \theta - \left( \frac{12}{12h^r + 1} \right) \cos^2 \theta \right] \\ \pm \frac{3}{2} \left( \frac{12h}{12h^r + 1} \right) \cos 2\theta \quad (15)$$

$h$  ضریب زانویی و  $\sigma_0 = M/(\pi tr^r)$  تنش طولی لوله‌ی مستقیم معادل است و علامت + برای تنش‌ها روی سطح بیرونی و علامت - برای سطح داخلی است. برای ضریب زانویی‌های کوچک نیز رابطه‌ی ۱۶ توصیه شده است:<sup>[۲]</sup>

$$\frac{\sigma_\theta}{\sigma_0} = \pm \frac{1/892}{h^{r/2}} - \frac{0/48}{h^{1/r}} \quad (16)$$

در دستورالعمل ASME<sup>[۴]</sup> برای محاسبه‌ی تنش‌های اولیه و مجموع تنش‌های اولیه و ثانویه به ترتیب از ضرایب  $B_1$  و  $C_1$  و رابطه‌های  $I$ ،  $D$ ،  $r$ ،  $h$ ، ضریب زانویی،  $M$  گشتاور خمشی است و  $\sigma$  عبارت است از تنش اصلی بیشینه، یا دو برابر تنش برشی بیشینه که «شدت تنش» نامیده می‌شود، و یا تنش معادل ون‌مایز (هرکدام که بزرگ‌تر باشد):

$$B_1, C_1 = \frac{2\sigma I}{MD} \quad (17)$$

$$B_1 = \frac{1/3}{h^{r/2}} \quad (18)$$

$$C_1 = \frac{1/95}{h^{1/r}} \quad (19)$$

ب) خمش برونو صفحه‌یی: برای این حالت بارگذاری، در صورتی که بردار خمش در صفحه‌ی خم زانویی قرار گیرد، رابطه‌های ۲۰ و ۲۱ ارائه شده‌اند:<sup>[۲]</sup>

$$\frac{\sigma_\alpha}{\sigma_0} = \frac{K}{1-\nu^2} \left[ \left( 1 + \frac{3a}{2} \right) \sin \theta + \frac{a}{2} \sin 3\theta \pm 3\nu h a \sin 2\theta \right] \quad (20)$$

$$\frac{\sigma_\theta}{\sigma_0} = \frac{K}{1-\nu^2} \left\{ \nu \left[ \left( 1 + \frac{3a}{2} \right) \sin \theta + \frac{a}{2} \sin 3\theta \right] \pm 3ha \sin 2\theta \right\} \quad (21)$$

که در آن  $a = K/(5+6h^r)$  و  $K$  از رابطه‌ی ۵ محاسبه می‌شود. علامت + برای محاسبه‌ی تنش‌ها روی سطح بیرونی و علامت - برای سطح درونی است.

ج) تأثیر فشار داخلی: اگر همراه با خمش درون صفحه‌یی یا برونو صفحه‌یی فشار

( $M_{ip}$ ) به فلنچ نسبتاً صلب متصل به انتهای آن اعمال شود، ضریب انعطاف‌پذیری مطابق رابطه‌ی ۷ محاسبه می‌شود:<sup>[۱]</sup>

$$K = \frac{\varphi EI - 2M_{ip}L}{M_{ip}R\psi} \quad (2)$$

که در آن  $\alpha$  زاویه‌ی چرخش فلنچ انتهای لوله است. ب (خمش برونو صفحه‌یی): اگر بردار گشتاور خمشی بر صفحه‌یی که تار مرکزی زانویی در آن قرار دارد عمود نباشد، خمش را برونو صفحه‌یی می‌نامند. این نوع بارگذاری در سیستم‌های سه بعدی لوله‌کشی صورت می‌گیرد. برای این نوع بارگذاری روابط ۵ و ۶ عیناً و بدون هیچ تغییری پیشنهاد شده<sup>[۲]</sup> ولی رابطه‌ی ۸ برای زانویی ۹۰ درجه و روابط مشابهی برای زوایای ۴۵، ۴۵ و ۱۳۵ درجه است:<sup>[۱]</sup>

$$K = \frac{\varphi EI - M_{out}L(2+\nu)}{M_{out}R\psi} \quad (8)$$

که در آن  $\nu$  ضریب پواسون است. ج) تأثیر فشار داخلی: فشار داخلی زانویی باعث کاهش انعطاف‌پذیری آن می‌شود. بعضی منابع انعطاف‌پذیری را تحت گشتاور خمشی درون صفحه‌یی و برونو صفحه‌یی همراه با فشار داخلی یکسان در نظر گرفته‌اند ولی بعضی دیگر روابط جداگانه‌یی ارائه کرده‌اند. به عنوان مثال برای خمش درون صفحه‌یی و فشار داخلی رابطه‌ی ۹ ارائه شده است:<sup>[۱]</sup>

$$K = \frac{\sqrt{3}\Gamma}{1 + \frac{2\sqrt{6}}{\Gamma^{1/2}} (r/t)^3 (P/E) (1-\nu^2)} \quad (9)$$

که در آن  $P$  فشار داخلی و  $\Gamma = \sqrt{1-\nu^2}/h$  است. برای خمش درون صفحه‌یی یا برونو صفحه‌یی و فشار داخلی نیز رابطه‌ی ۱۰ ارائه شده است:<sup>[۲]</sup>

$$K = \frac{5+6h^r+24\lambda}{5+6h^r+24\lambda} \quad (10)$$

که در آن  $\lambda = PR^r/(Ert)$  است. برای این حالت بارگذاری، رابطه‌ی ۱۱ نیز ارائه شده است:<sup>[۲]</sup>

$$K = \frac{1/65/h}{1 + 6(P/E)(r/t)^{7/2}(R/r)^{1/2}} \quad (11)$$

## ۲.۲. تحلیل تنش

الف) خمش درون صفحه‌یی: با اعمال تقریب‌هایی که پیش‌تر ذکر شد، در بعضی منابع روابطی برای محاسبه‌ی تنش‌ها ارائه شده است. فرض عمومی آنها، برای آن که بتوان از نظریه‌ی پوسته‌های نازک استفاده کرد، نازک‌بودن ضخامت زانویی است. در این نظریه معمولاً از تنش در امتداد عمود بر سطح پوسته صرف نظر می‌شود و فقط مؤلفه‌های طولی ( $\sigma_\alpha$ ) و نصف‌النهاری یا محیطی ( $\sigma_\theta$ ) یعنی حالت تنش صفحه‌یی در نظر گرفته می‌شود. مختصات  $\alpha$  و  $\theta$  در شکل ۱ نشان داده شده است. تحت هر نوع بارگذاری، برای ارزیابی مقاومت زانویی، باید توزیع تنش‌ها و مقادیر بیشینه‌ی آنها، و در مواردی نیز محل این بیشینه‌ها معلوم باشد. از روابط تقریبی ۱۲ و ۱۳ که بدون اثبات ارائه می‌شوند فقط برای برآوردهای اولیه استفاده می‌شود. برای ارزیابی دقیق می‌توان از روش اجزاء محدود استفاده کرد. تحلیل تنش و کرنش با استفاده از روش اجزاء محدود برای گستره‌ی وسیعی از پارامترهای هندسی زانویی و بارگذاری‌های خمشی درون صفحه‌یی، برونو صفحه‌یی، بدون فشار داخلی یا با فشار داخلی، و نیز برای بررسی تأثیر زاویه‌ی مرکزی زانویی روی این کمیت‌ها انجام شده

زانویی در آن قرار دارد و دیگری صفحه‌یی که زانویی را به دو قسمت مساوی تقسیم کرده و بر صفحه‌ی اول عمود باشد. در مواردی که ضرایط مرزی روی صفحات تقارن در نتایج حاصل تداخل نداشت (همانند محاسبه‌ی ضرایب انعطاف‌پذیری)، فقط یک‌چهارم مدل تجزیه و تحلیل شد و در مواردی که این ضرایط در نتایج تداخل داشت (مانند مقادیر حاصل برای تنش و کرنش روی سطوح داخلی و بیرونی لوله) از نیمه‌ی تمام مدل برای تجزیه و تحلیل استفاده شد.

ضرایط مرزی مناسب برای نقاط واقع بر صفحات تقارن در نظر گرفته شد. اعتبار این ضرایط و دقت المان انتخابی، تعداد آنها و کیمیت‌های حاصل ارزیابی شد. تجزیه و تحلیل تعداد زیادی از مدل‌ها با مشخصات هندسی  $r$  و  $R$  و  $\psi$  متفاوت انجام شد و بعضی نتایج به صورت نمودار ارائه شد.

گشتوار خشمی درون صفحه‌یی در جهت افزایش انحنای (بستن) یا کاهش آن (بازشدن) به درپوش صلب انتهای زانویی وارد شد و با محاسبه‌ی تغییر مکان زاویه‌یی فلنچ به ازای گشتوارهای وارد بر آنها (درون صفحه‌یی و بیرون صفحه‌یی)، ضرایب انعطاف‌پذیری به‌کمک رابطه‌های ۷ و ۸ محاسبه و با نتایج حاصل از روابط نظری در بخش ۱.۲ (انعطاف‌پذیری) مقایسه شدند. همچنین تنش‌های طولی و نصف‌النهاری و تنش مؤثر در مقاطع مختلف و روی سطوح داخلی و بیرونی زانویی محاسبه و بر حسب زوایای مختلف نصف‌النهاری ترسیم شده‌اند. در این بررسی نشان داده شد که دقت بعضی از روابط نظری در بخش ۲.۲ بر محاسبه‌ی تنش‌ها تا چه اندازه است و اختلاف آنها با نتایج حاصل از روش اجراء محدود حاضر تا چه میزان است. این بررسی‌ها برای گستره‌ی وسیعی از پارامتر زانویی  $h$  انجام و نتایج به صورت نمودار ارائه شد. در تمام تحلیل‌ها رفتار ماده کشسان خطی در نظر گرفته شد، اگرچه در مواردی که زانویی علاوه بر خمش تحت فشار داخلی نیز قرار داشت، تحلیل‌های غیرخطی هندسی (تغییر مکان‌های بزرگ) نیز انجام شده است. لازم به توضیح است که در این نوع بارگذاری، استفاده از فرض جایه‌جایی‌های کوچک امکان ارزیابی تأثیر فشار داخلی بر انعطاف‌پذیری را فراهم نمی‌کند.<sup>[۱۶، ۱۷، ۱۸]</sup>

## ۴. نتایج

### ۱.۴. انعطاف‌پذیری

انعطاف‌پذیری حاصل از بررسی حاضر که به‌کمک رابطه‌ی ۷ برای زوایای مختلف زانویی تحت گشتوار خشمی درون صفحه‌یی محاسبه شده‌اند، همراه با مقادیر حاصل از رابطه‌های ۱، ۵ و ۶ و نتایج موجود<sup>[۱۰]</sup> در شکل ۲ رسم شده است. مشاهده می‌شود که تغییر زاویه‌ی خم زانویی از ۴۵° تا ۱۸۰° درجه، هنگامی که زانویی فقط تحت خمش درون صفحه‌یی قرار گرفته باشد، تأثیر چندانی بر انعطاف‌پذیری ندارد ولي با افزایش ضریب زانویی این نوع انعطاف‌پذیری کم می‌شود. ضرایب حاصل از بررسی حاضر بر تابعی که از رابطه‌ی ۱ برای ضرایب زانویی بزرگتر از ۷۰°<sup>۱۰</sup> ۷ به دست می‌آیند بسیار نزدیک‌اند و برای ضرایب زانویی کمتر از ۷۰° هم اختلاف ناچیز است و با نتایج حاصل از رابطه‌ی ۶ نیز اطمیق قابل قبولی دارند در حالی که با نتایج حاصل از رابطه ۵ که در آن شعاع خم خیلی بزرگ در نظر گرفته شده است اختلاف قابل ملاحظه‌ی دارند.

شکل ۳ تغییرات ضریب انعطاف‌پذیری را بر حسب ضریب زانویی تحت گشتوار بروند صفحه‌یی نشان می‌دهد. چنان‌که مشاهده می‌شود برخلاف حالت قبل، برای تغییر زاویه‌ی خم زانویی، هنگامی که فقط تحت گشتوار بروند صفحه‌یی قرار گرفته باشد — به‌ویژه برای ضرایب زانویی کوچک‌تر — انعطاف‌پذیری کاهش می‌یابد. در

داخلی  $P$  در زانویی باشد، تنش‌ها طبق رابطه‌های ۲۲ و ۲۳ محاسبه می‌شوند.<sup>[۲]</sup> استفاده از علامت  $+$  و  $-$  مانند موارد قبل است:

$$\frac{\sigma_\alpha}{\sigma_0} = \frac{K}{1 - \nu^2} \left\{ \pm 3\nu b h \cos 2\theta + \left[ \left( 1 + \frac{3b}{2} \right) \cos 2\theta + b \cos 3\theta \right] \right\} \quad (22)$$

$$\frac{\sigma_\theta}{\sigma_0} = \frac{K}{1 - \nu^2} \left\{ \pm 3b h \cos 2\theta + \nu \left[ \left( 1 + \frac{3b}{2} \right) \cos \theta + b \cos 3\theta \right] \right\} \quad (23)$$

در این روابط  $K$  از رابطه‌ی ۱۰ و  $b$  از رابطه‌ی ۲۴ محاسبه می‌شود و  $\lambda$  همان پارامتر مورد استفاده در رابطه‌ی ۱۰ است:

$$b = -\frac{3}{5 + 6h^2 + 24\lambda} \quad (24)$$

هنگامی که زانویی فقط تحت فشار بروند است، تنش‌های اولیه و مجموع تنش‌های اولیه و ثانویه به‌کمک ضرایب  $C_1$  و  $B_1$  (پیشنهادشده به صورت رابطه‌های ۲۵ و ۲۶ و ۲۷) محاسبه می‌شوند.<sup>[۲]</sup> در این رابطه‌ها، ضخامت جداره‌ی لوله،  $r$  شعاع متوسط مقطع،  $R$  شعاع خم،  $P$  فشار داخلی است و  $\sigma$  نیز در رابطه‌ی ۱۷ تعریف شده است که

$$B_1, C_1 = \frac{2\sigma t}{PD} \quad (25)$$

$$B_1 = -\frac{1}{1 + \frac{1}{4}h} \quad (26)$$

$$C_1 = \frac{2R - r}{2(R - r)} \quad (27)$$

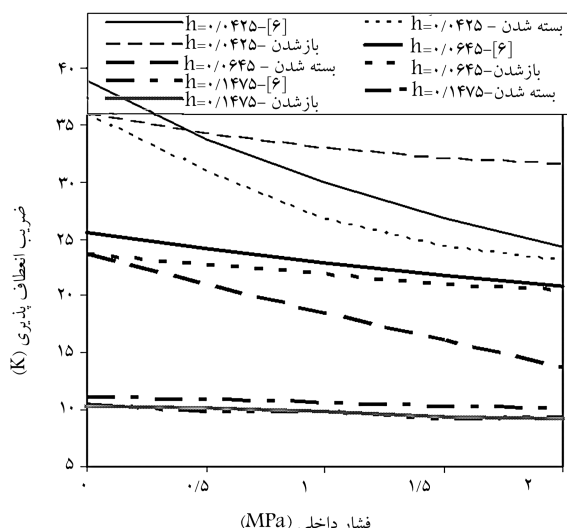
در حالی که برای همین حالت بارگذاری رابطه‌های ۲۸ و ۲۹ پیشنهاد شده‌اند:<sup>[۲]</sup>

$$\sigma_\alpha = \frac{Pr}{2t} \quad (28)$$

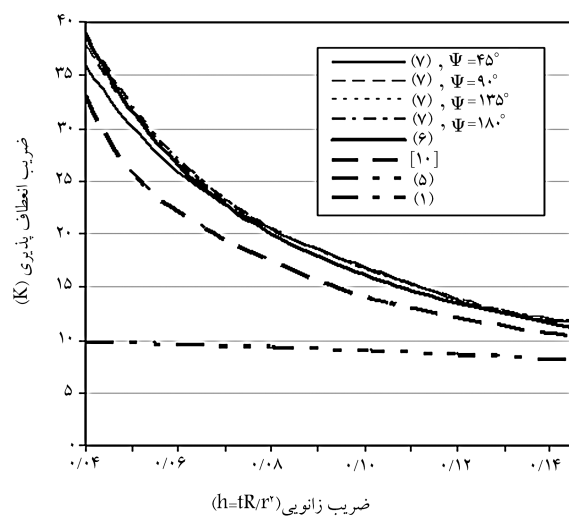
$$\sigma_\theta = \frac{Pr}{4t} \left( 1 + \frac{R}{R + r \cos \theta} \right) \quad (29)$$

## ۳. روش بررسی

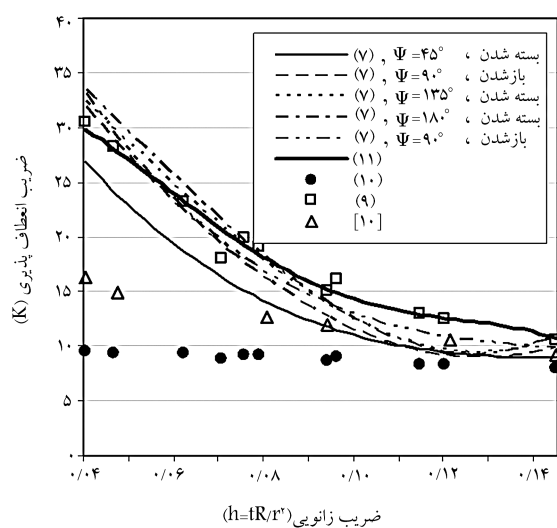
زانویی با زاویه‌ی مرکزی  $= 90^\circ$ ، شعاع خم  $\psi = 60.96\text{ mm}$ ، قطر خارجی  $R = 40.64\text{ mm}$  (۱۶ اینچ)، شعاع متوسط لوله  $r = 200\text{ mm}$  و ضخامت  $t = 6.35\text{ mm}$  متصل به دو لوله‌ی مستقیم با طول تقریبی هفت برابر شعاع متوسط لوله (برای اجتناب از تداخل ضرایب انتهای در نتایج و رعایت محدوده‌ی اعماق رابطه‌ی ۷ که در آن فرض شده است  $L \geq 7r$ ، به عنوان مدل مبنا در تجزیه و تحلیل زانویی‌ها برای محاسبه‌ی ضرایب انعطاف‌پذیری، و تمرکز و توزیع تنش‌ها در نقاط مختلف سطوح بروند و بیرونی آن تحت گشتوارهای خشمی درون صفحه‌یی و بروند صفحه‌یی با/بدون فشار داخلی انتخاب شد. زانویی با ۳۶ المان در امتداد محیط دایره‌ی مقطع و ۱۸ المان در امتداد طول خمیده‌ی زانویی و ۱۳ المان در امتداد طول هریک از لوله‌های مستقیم شبکه‌بندی شد. مدل اجزاء محدود این شبکه با المان ۶۳ Shell ۹/۵ از نرم‌افزار ANSYS که دارای چهارگره، و هریک با شش درجه آزادی است تهیه شد.<sup>[۲۲]</sup> در انتهای لوله‌ی مستقیم فلنچ صلبی با المان تیر صلب MPC ۱۸۴ تعییه شد تا وارد اوردن گشتوار خشمی امکان‌پذیر شود. بدین منظور دو صفحه‌یی تقارن در نظر گرفته شد، یکی صفحه‌یی که محور مرکزی



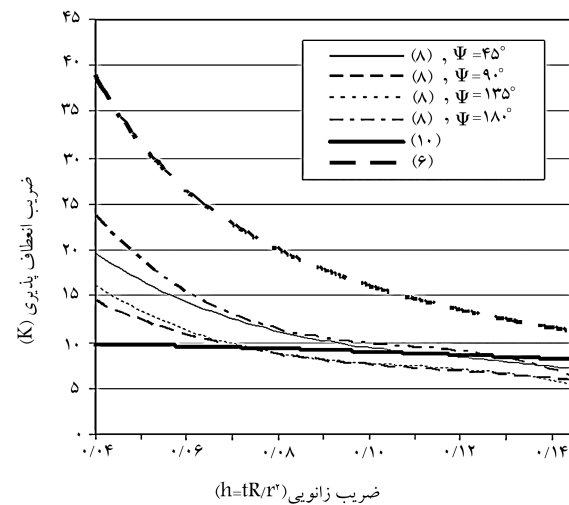
شکل ۴. ترکیب خمش درون صفحه‌یی با فشار داخلی.



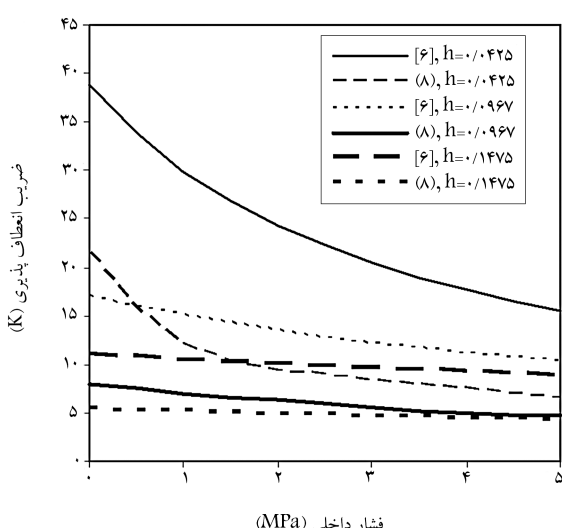
شکل ۲. مقایسه‌ی ضرایب انعطاف‌پذیری: خمش درون صفحه‌یی.



شکل ۵. تأثیر جهت بردار خمش درون صفحه‌یی همراه با فشار داخلی بر انعطاف‌پذیری.



شکل ۳. مقایسه‌ی ضرایب انعطاف‌پذیری در خمش برون صفحه‌یی.



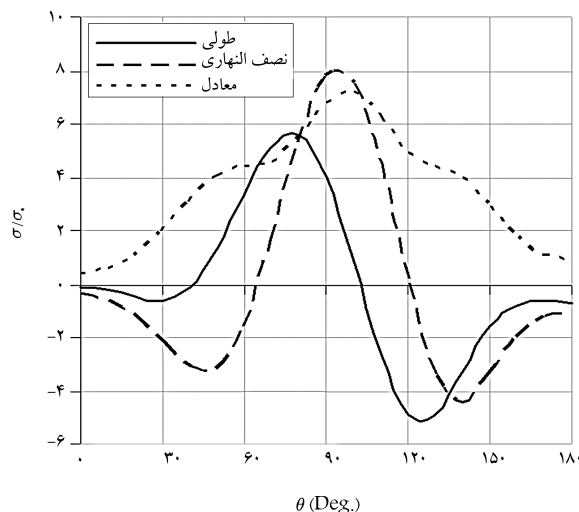
شکل ۶. ترکیب خمش برون صفحه‌یی با فشار داخلی.

بررسی حاضر ضریب انعطاف‌پذیری برای این حالت بسیار کمتر از نتایج حاصل از رابطه ۶ ولی بیشتر از نتایج حاصل از رابطه ۱۰ (برای ضرایب زانویی کوچک) به دست آمده است.

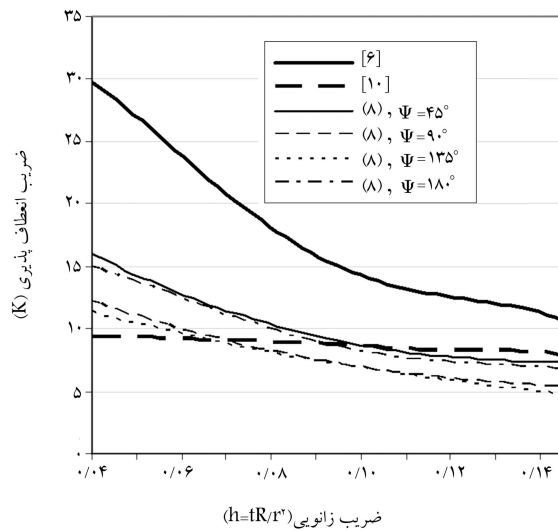
در شکل ۴ تأثیر فشار داخلی و جهت گشتاور درون صفحه‌یی براین ضریب نشان داده شده است. با افزایش فشار، انعطاف‌پذیری تحت گشتاور خمشی درون صفحه‌یی کاهش می‌یابد در حالی که جهت این گشتاور تأثیر قابل ملاحظه‌یی بر آن دارد. با افزایش ضریب زانویی این تأثیر کمتر می‌شود.

در شکل ۵ تأثیر ضریب زانویی بر انعطاف‌پذیری زانویی که علاوه بر گشتاور خمشی درون صفحه‌یی تحت فشار داخلی نیز قرار دارد، نشان داده شده است. صرف نظر از جهت گشتاور و تحت فشار معین، این شکل نشان می‌دهد که برای ضرایب زانویی بیشتر از ۰.۱۱۲۵، نتایج حاصل از بررسی حاضر به نتایج حاصل از رابطه ۹ بسیار نزدیک است ولی از نتایج حاصل از رابطه ۱۰ بیشتر است. برای ضرایب زانویی کمتر از ۰.۱۱۲۵، اختلاف‌ها قابل ملاحظه‌اند.

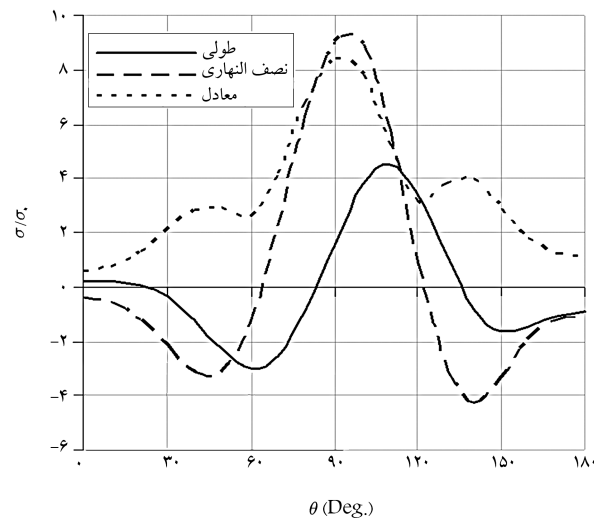
در شکل‌های ۶ و ۷، نمودارهای مشابهی برای گشتاور برون صفحه‌یی همراه با



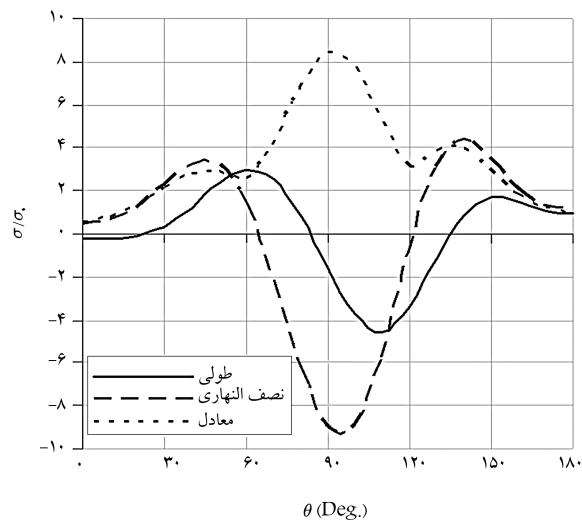
شکل ۹. توزیع تنش در سطح داخلی تحت گشتاور درون صفحه‌بی (بستن).



شکل ۷. ترکیب خمش برون صفحه‌بی با فشار داخلی.



شکل ۱۰. توزیع تنش در سطح بیرونی تحت گشتاور درون صفحه‌بی (بازکردن).



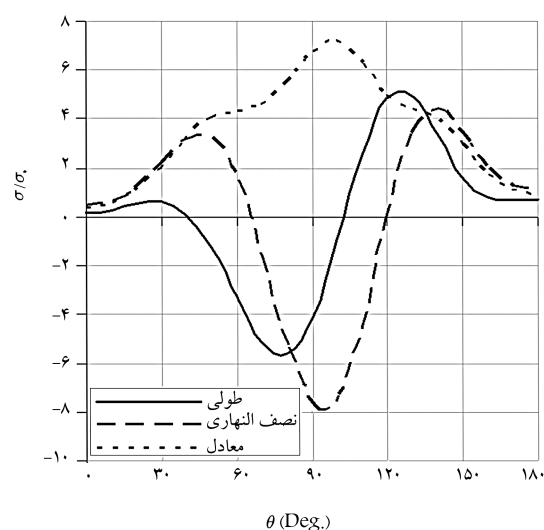
شکل ۸. توزیع تنش در سطح بیرونی تحت گشتاور درون صفحه‌بی (بستن).

فشار داخلی ارائه شده است. در این نوع بارگذاری نتایج حاصل از بررسی حاضر که از رابطه‌ی ۸ به دست می‌آیند کمتر از مقادیر حاصل از رابطه‌ی ۱۱ است.

#### ۲.۴. تحلیل تنش‌ها

برای زانویی ۹۰ درجه با ضریب زانویی  $h=۹۶۷$  mm ( $t=۶/۳۵$  mm,  $R=۶۰/۸$  mm,  $r=۲۰۰$  mm) که به عنوان مدل مبنا انتخاب شده است، تنش طولی ( $\sigma_a$ ) و تنش نصف‌نهاری ( $\sigma_\theta$ ) و تنش مؤثر ( $\sigma_e$ ) در مقطع میانی زانویی و بر روی سطوح داخلی و بیرونی تحت گشتاور خمشی درون صفحه‌بی محاسبه و بهمک تنش ( $\sigma = M/(\pi r^3)$ ) که در لوله‌ی مستقیم معادل زانویی به وجود می‌آید، بدون بعد شده‌اند. نتیجه‌ی محاسبات برای گشتاورهایی که زانویی را می‌بندند یا باز می‌کنند در شکل‌های ۱۱ تا ۱۶ رسم شده‌اند. مشاهده می‌شود که جهت گشتاور خمشی درون صفحه‌بی، اگرچه توزیع تنش‌های طولی و محیطی را تغییر می‌دهد، تأثیر قابل ملاحظه‌بی بر مقادیر تنش مؤثر ندارد.

تشهای بدون بعد حاصل از بررسی حاضر (FE) برای گشتاوری که زانویی



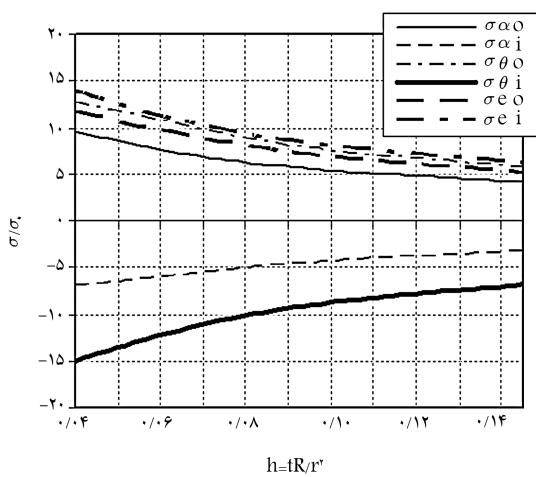
شکل ۱۱. توزیع تنش در سطح داخلی تحت گشتاور درون صفحه‌بی (بازکردن).

این دسته از زانویی‌ها کاهش می‌یابد؛ لذا طراح سیستم‌های لوله‌کشی باید یک نوع سازش بین این دو کمیت ایجاد کند تا زانویی ضمن برخورداری از انعطاف‌پذیری مطلوب مقاومت لازم را نیز داشته باشد.

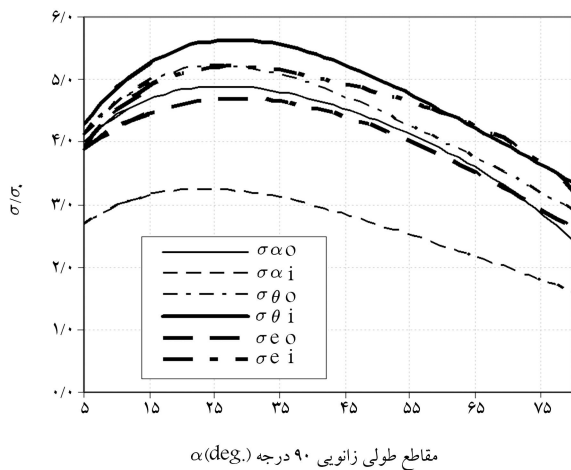
اگر بردار گشتاور خمشی برونقصفحه‌یی به زانویی وارد شود، تنش‌های بیشینه در مقطع میانی (مقطعی که زانویی را به دو قسمت مساوی تقسیم می‌کند) واقع نمی‌شوند. در شکل ۱۵ توزیع تنش‌های بیشینه در مقطع مختلف برای مدل مبنا و برای این وضعیت بردار خمین نشان داده شده است. چنان‌که مشاهده می‌شود بیشترین مقادیر تنش‌ها در مقطع  $35^\circ \sim 20^\circ = \alpha$  درجه به وجود می‌آید.

در شکل ۱۶ تنش‌های طولی و محیطی بانصف‌النهاری برای مقطع  $\alpha = 22/5^\circ$  که در بررسی حاضر به دست آمده‌اند با نتایج حاصل از روابط  $20^\circ$  و  $21^\circ$  نشان می‌دهد. مقادیر بیشینه‌ی تنش محیطی حاصل از بررسی حاضر به بیش از دو برابر نتایج حاصل از معادلات ذکرشده می‌رسد.

بیشترین تنش‌های طولی، محیطی و مؤثر روی سطوح بیرونی و داخلی برای



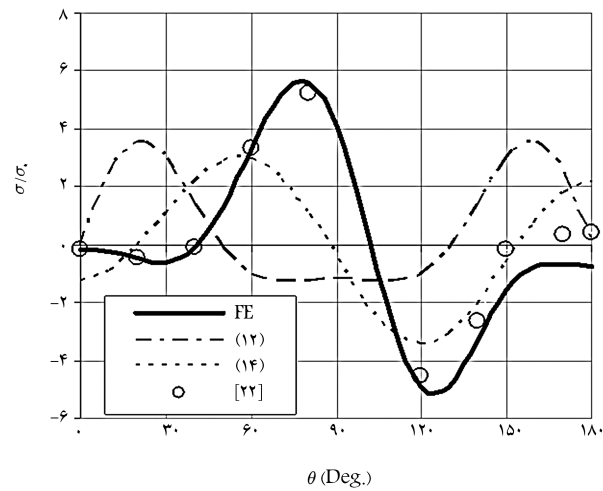
شکل ۱۴. مقایسه‌ی بیشینه‌ی تنش‌های طولی، محیطی و مؤثر برای زانویی‌هایی با ضربیت متفاوت تحت خمین درون‌صفحه‌یی بسته شدن. حروف  $\alpha$  و  $0^\circ$  به ترتیب برای سطوح داخلی و بیرونی است.



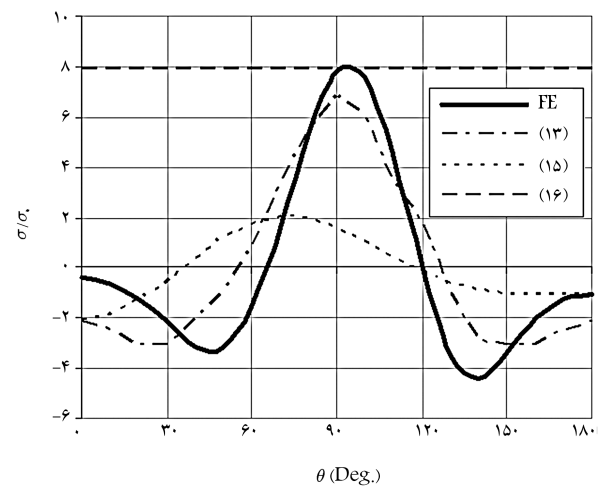
شکل ۱۵. تغییرات تنش‌های بیشینه در مقطع طولی زانویی تحت خمین برونقصفحه‌یی، حروف  $\alpha$  و  $0^\circ$  به ترتیب برای سطوح داخلی و بیرونی است.

را می‌بندد، با نتایج حاصل از روابط  $12^\circ$  و  $14^\circ$  در شکل ۱۲، و با نتایج حاصل از روابط  $15^\circ$  و  $16^\circ$  در شکل ۱۳ مقایسه شده‌اند. چنان‌که ملاحظه می‌شود در مواردی توزیع تنش‌ها و مقادیر بیشینه‌ی آن‌ها با یکدیگر متفاوت است. مثلاً در شکل ۱۳ اگرچه تنش‌های محیطی در جدار داخلی و بیرونی طبق معادله  $16^\circ$  مقدار ثابتی برآورد می‌شوند، بیشینه‌ی آن‌ها با نتایج اجزاء محدود منطبق است. معادله  $13^\circ$  تغییراتی مشابه نتایج بررسی حاضر دارد ولی معادله  $15^\circ$  مقادیر بیشینه را تا چهارم مقادیر حاصل از روش اجزاء محدود نشان می‌دهد. در مرور تنش‌های طولی، نتایج بررسی حاضر فقط با برخی از نتایج موجود [۱۲] انتطباق خوبی دارد ولی مقادیر بیشینه و محل آن‌ها، چنانچه از معادلات متفاوت‌اند. به نظر می‌رسد ساده‌سازی‌هایی که برای استخراج معادلات منظور شده است منشاء این اختلافات باشد.

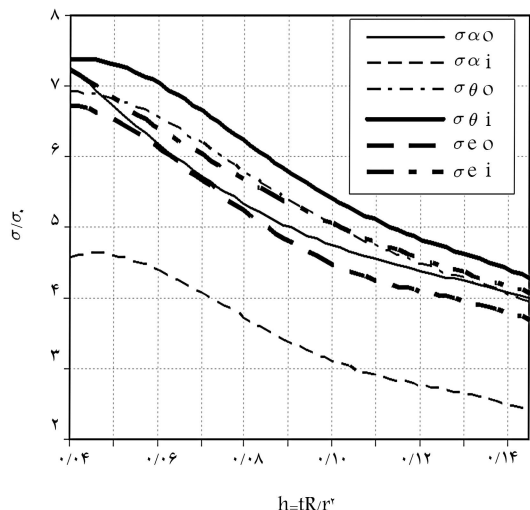
تنش‌های بیشینه‌ی طولی، محیطی و مؤثر برای دسته‌یی از زانویی‌ها با ضرباب زانویی  $0^\circ$  تا  $20^\circ$  در شکل ۱۴ رسم شده‌اند. چنان‌که ملاحظه می‌شود با افزایش ضرباب زانویی مقادیر بیشینه‌ی تنش کاهش می‌یابد. اگرچه از لحاظ مقاومت بهتر است ضرباب زانویی بزرگ‌تری انتخاب شود، باید توجه داشت که انعطاف‌پذیری



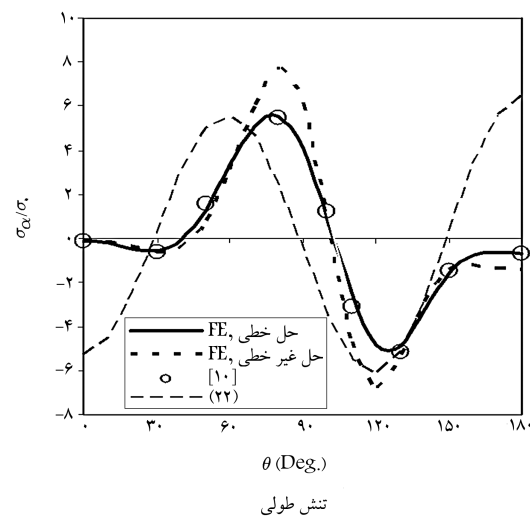
شکل ۱۲. مقایسه‌ی تنش‌های طولی (بستن).



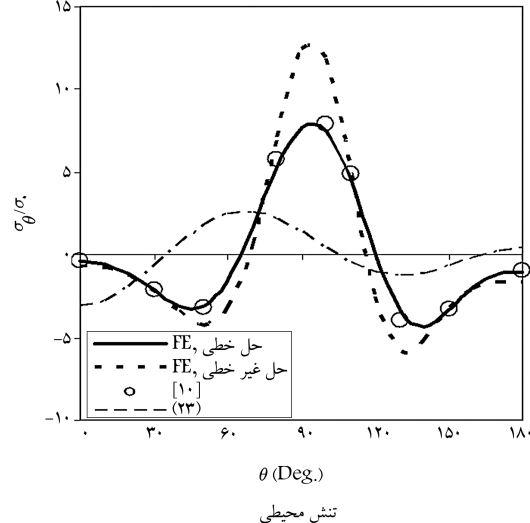
شکل ۱۳. مقایسه‌ی تنش‌های محیطی (بستن).



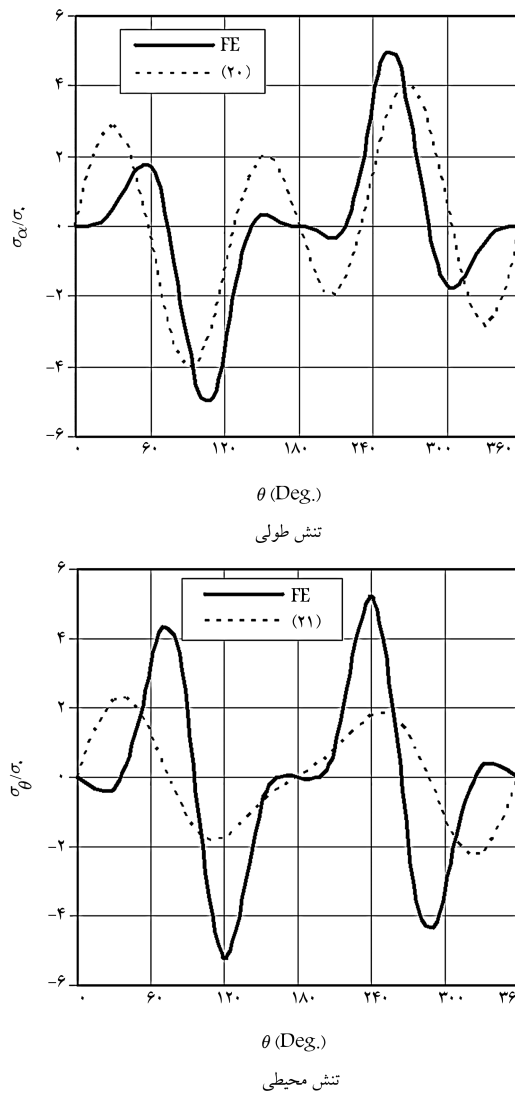
شکل ۱۷. تنش‌های بیشینه‌ی طولی، محیطی و مؤثر برای زانویی‌های مختلف تحت خمش برونو صفحه‌بی. حروف  $\alpha$  و  $\theta$  به ترتیب برای سطوح داخلی و بیرونی است.



شکل ۱۶. مقایسه‌ی تنش‌های بیشینه‌ی طولی و محیطی حاصل از منابع دیگر با نتایج بررسی حاضر در مقطع  $\alpha = 22.5^\circ$  و روی سطح بیرونی.



شکل ۱۸. مقایسه‌ی تنش‌های در سطح بیرونی مدل مبنا تحت بارگذاری مرکب خمشی در جهت بستن و فشار داخلی.



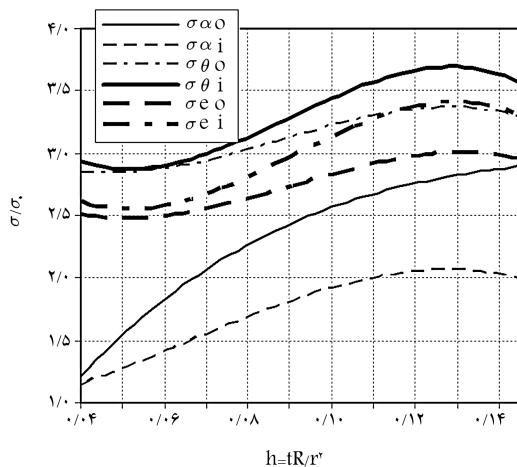
زانویی‌ها با اندازه‌های مختلف در شکل ۱۷ نشان داده شده است. در این حالت نیز کاهش تنش در مواردی اتفاق می‌افتد که انعطاف‌پذیری زانویی نیز کاهش می‌یابد و باید مورد توجه طراح قرار گیرد.

#### ۴. تأثیر فشار داخلی

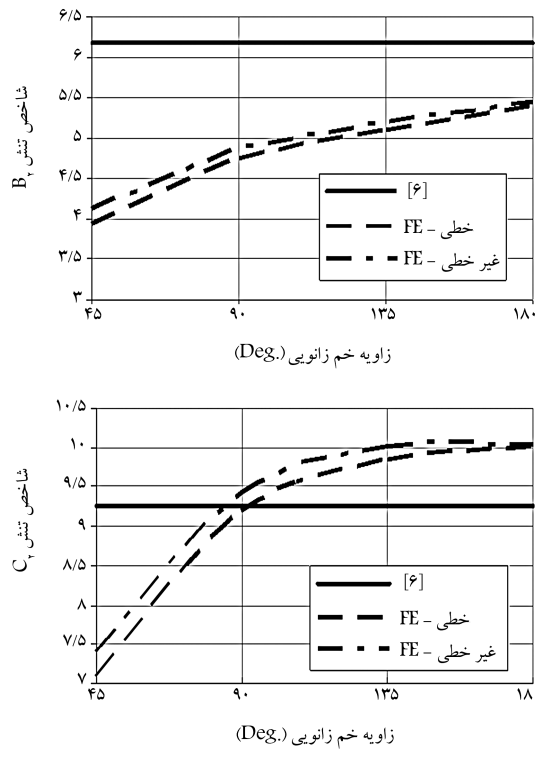
در شکل ۱۸ تنش‌های طولی و محیطی با نصف‌النهاری حاصل از تحلیل خطی و غیرخطی روی سطح بیرونی مقطع میانی زانویی مدل مبنا، و تحت بارگذاری مرکب گشتاور خمشی در جهت بستن و فشار داخلی با نتایج حاصل از منابع دیگر و روابط ۲۲ و ۲۳ مقایسه شده است. در این نوع بارگذاری تنش در لوله‌ی مستقیم معادل به صورت  $\sigma = \frac{M_r}{I} + \frac{P_r}{4t}$  محاسبه می‌شود که در آن  $P$  فشار داخلی است. چنان که ملاحظه می‌شود اگر فشار داخلی و خمش درون‌صفحه‌بی به‌طور هم‌زمان بر زانویی وارد شوند نتایج حاصل از بررسی حاضر در تحلیل خطی، تنش‌های طولی و محیطی را با دقت کافی در مقایسه با نتایج موجود  $[10]$  برآورد می‌کند هرچند که با نتایج حاصل از معادلات ۲۲ و ۲۳ اختلاف زیادی دارند.

باشد، تأثیر آن بر تغییرات تنش ناچیز است. اگر فشار داخل و گشتاور برون صفحه‌یی به طور هم زمان به زانویی وارد شوند بیشینه تنش های طولی، محیطی و مؤثر با ضرب زانویی افزایش خواهد یافت (شکل ۲۱).

برای ارزیابی نتایج حاصل از بررسی حاضر با ضرباب  $B_2$  و  $C_2$  برنامه‌یی رایانه‌یی نوشته شد<sup>[۸]</sup> تا بتوان بیشترین مقادیر تنش را برای راستاهای موجد گشتاور برون صفحه‌یی در زانویی محاسبه، و سپس با استفاده از تعریف این ضرباب آنها را محاسبه کرده و نتایج را با آنچه که از روابط ۱۸ و ۱۹ بدست می‌آید سنجید. در این بررسی تحلیل خطی و غیرخطی هندسی انجام، و نتایج در شکل ۲۲ ارائه شده است.

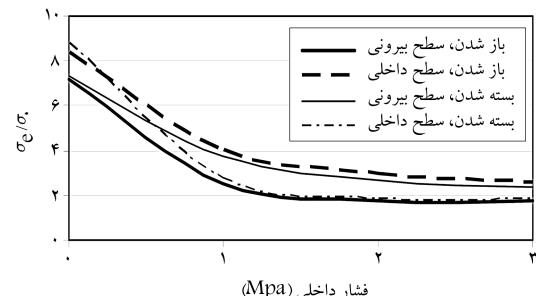


شکل ۲۱. بیشینه تنش های طولی، محیطی و مؤثر برای زانویی های مختلف تحت بارگذاری مرکب خمی خارج از صفحه و فشار داخلی.

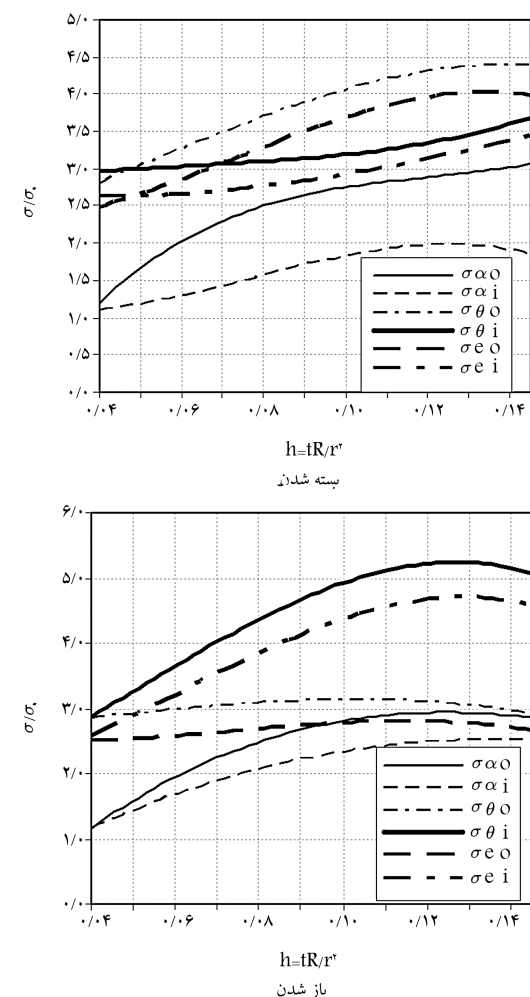


شکل ۲۲. مقایسه‌ی شاخص‌های تنش.

در شکل ۱۹ تغییرات مقادیر بیشینه تنش مؤثر برای مدل مبنا در فشارهای مختلف و تحت گشتاور خمی درون صفحه‌یی، برای حالت بازشدن یا بسته شدن زانویی نشان داده شده است. در شکل ۲۰ نیز این تغییرات تحت گشتاور خمی درون صفحه‌یی و برحسب ضرب زانویی رسم شده است. شکل ۲۱ نمودارهای مشابهی را برای هنگامی که گشتاور برون صفحه‌یی و فشار داخلی بر زانویی وارد شوند، نشان می‌دهد. چنان که مشاهده می‌شود، در مواردی که فشار زانویی زیاد



شکل ۱۹. تغییرات تنش مؤثر با فشار داخلی برای مدل مبنا تحت گشتاور خمی.



شکل ۲۰. تغییرات تنش بیشینه و مؤثر برای زانویی های مختلف تحت بارگذاری مرکب خمی و فشار داخلی. حروف ۱ و ۰ به ترتیب برای سطوح داخلی و بیرونی است.

می‌شوند. بنابراین پیشنهاد می‌شود در نحوه محاسبه ضرایب  $B_2$  و  $C_2$  تجدید نظر شود و در صورت لزوم، روابط مربوط به آنها اصلاح شوند. توجه به موارد زیر نیز توصیه می‌شود:

- تحت گشتوار خمشی درون‌صفحه‌یی، زاویه‌ی خم زانویی بر انعطاف‌پذیری آن تأثیر قابل ملاحظه‌یی ندارد ولی اگر خمش برون‌صفحه‌یی باشد، این تأثیر قابل ملاحظه است.
- با کاهش ضریب زانویی تحت هر نوع بارگذاری، انعطاف‌پذیری و ضریب تمرکز تنش افزایش می‌یابد. افزایش فشار داخلی موجب کم شدن انعطاف‌پذیری زانویی تحت هر نوع بارگذاری می‌شود.

- جهت گشتوار خمشی درون‌صفحه‌یی و برون‌صفحه‌یی بر انعطاف‌پذیری و توزیع تنش‌ها تأثیر دارد اما در برآوردهای تقریبی می‌توان از این تأثیر چشم‌بوشی کرد.

- برای زانویی‌های بیش از  $90^\circ$  درجه افزایش ضریب  $C_2$  نیاید نادیده گرفته شود ولی تغییر ضریب  $B_2$  با زاویه‌ی زانویی را می‌توان نادیده گرفت.

- اگرچه تحت گشتوار درون‌صفحه‌یی مقطع بحرانی در صفحه‌یی تقارن قرار دارد ولی تحت گشتوار برون‌صفحه‌یی تنش‌های بیشینه در این صفحه ظاهر نخواهد شد و باید با توجه به زاویه‌ی زانویی محل آن‌ها را پیدا کرد.

- در تحلیل‌های نظری زانویی، به‌کمک روش اجزاء محدود و به‌دلیل این که ساده‌سازی‌های کم‌تری در آن اعمال می‌شود، می‌توان انعطاف‌پذیری و تنش‌های بیشینه را تحت انواع بارگذاری‌های مرکب با سرعت و سادگی و با دقت کافی به دست آورد.

چنان‌که مشاهده می‌شود، روش موجود برای محاسبه‌ی شاخص تنش‌های اولیه‌ی  $B_2$ <sup>[6]</sup> در جهت اطمینان است ولی این روش برای محاسبه‌ی شاخص مجموع تنش‌های اولیه و ثانویه ( $C_2$ )، فقط برای زوایای زانویی کم‌تر از  $90^\circ$  درجه در جهت اطمینان است. برای زانویی‌های با زاویه‌ی مرکزی بیش از  $90^\circ$  درجه این شاخص‌ها کم‌تر از نتایج حاصل از بررسی حاضر محاسبه می‌شوند. همچنین مشاهده می‌شود که طبق روش پیشنهادی قبلی<sup>[6]</sup> تأثیر زاویه‌ی خم بر  $B_2$  و  $C_2$  نادیده گرفته شده است، ولی این ضرایب ممکن است با افزایش زاویه‌ی زانویی تا  $50\%$  افزایش یابند.

## ۵. نتیجه‌گیری

در این نوشتار نتایج حاصل از بررسی پارامتری مدل اجرای محدود زانویی، به عنوان بخشی از یک لوله‌ی خمیده، ارائه شد. تأثیر زاویه‌ی خم و نیز تأثیر هم‌زمان فشار داخلی و گشتوار خارجی بر ضرایب انعطاف‌پذیری و تمرکز تنش که از مشخصه‌های سازه‌یی زانویی هستند، در بعضی از بررسی‌های دیگران به منظور ساده‌سازی معادلات حاکم نادیده گرفته شده‌اند، مورد بررسی قرار گرفت. مشاهده شد که در مواردی نادیده گرفتن این عوامل اختلاف‌های قابل توجهی در این ضرایب به وجود می‌آورد. بنابراین برای ارزیابی دقیق‌تر، علاوه بر تحلیل خطی، تحلیل غیرخطی هندسی نیز انجام شد. نتایج حاصل از تحلیل خطی، با نتایج موجود<sup>[10]</sup> که در شکل ۱۸ نمایان است، انتباق مطلوبی دارد ولی تنش‌های بیشینه‌ی حاصل از تحلیل غیرخطی بسیار بیشتر برآورد

## منابع

1. Calladine, C.R., *Theory of shell Structures*, Cambridge University Press (1983).
2. Flugge, W., *Stresses in Shells*, 2<sup>nd</sup> edn, Berlin: Springer-Verlag (1973).
3. Kitching, R., *Smooth and Mitred Pipe Bends*, chap. 7 in "The stress analysis of pressure vessels & pressure vessels components", ed. by Gill S.S., New York, Pergamon Press (1970).
4. Clark, R.A., and Reissner, E. "Bending of curved tubes", *In Advances in Applied Mechanics*, **2**, pp. 93-122, New York, Academic press, Inc. (1951).
5. Kellogg Company "Design of piping systems", 2<sup>nd</sup> ed., New York, J. Wiley & sons (1956).
6. ASME Boiler and Pressure Vessel Code, Sec. III, Div. 1, American Society of Mechanical Engineers, New York, N.Y. (1998).
7. Matzen, V.C., and Tan, Y. "The history of the B2 stress index", *Transactions of the ASME: Journal of Pressure Vessel Technology*, **124**, pp. 168-176 (May 2002).
8. Kumar, R., and Saleem, M.A. "B<sub>2</sub> and C<sub>2</sub> stress indices for large - angle bends", *Transactions of the ASME: Journal of Pressure Vessel Technology*, **124**, pp. 177-186 (May 2002).
9. Fujimoto, T., and Soh, T. "Flexibility factors and stress indices for piping components with D/t  $\geq 100$  subjected to in-plane or out-of-plane moment", *Transactions of the ASME: Journal of Pressure Vessel Technology*, **110**, pp. 374-386 (Nov. 1988).
10. Natarjan, R., and Mirza, S. "Effect of internal pressure on flexibility factors in pipe elbows with end constraints", *Transactions of the ASME: Journal of Pressure Vessel Technology*, **107**, pp. 60-63 (Feb. 1985).
11. Babaii Kochekseraii, S., *Mitred Pipe Bends Subject to Internal Pressure and in-Plane Bending Moment*, PhD Thesis, Faculty of technology, The University of Manchester (1994).
12. Melo, F.J.M.Q., and Castro, P.M.S.T. "The linear elastic stress analysis of curved pipes under generalized loads using a reduced integration finite ring element", *Journal of Strain Analysis*, **32**(1), pp. 47-59 (1997).
13. Shalaby, M.A., and Younan, M.Y.A. "Nonlinear analysis and plastic deformation of pipe elbows subjected to in-plane bending", *International Journal of Pressure Vessels and Piping*, **75**, pp. 603-611 (1998).
14. Younan, M.Y.A., and Mourad, H.M. "The effect of modeling parameters on the predicted limit loads for pipe bends subjected to out-of-plane moment loading and internal pressure", *Transactions of the ASME: Journal*

- of Pressure Vessel Technology, **122**, pp. 450-456 (Nov. 2000).
15. Younan, M.Y.A., and Mourad, H.M. "Limit load analysis of pipe bends under out-of-plane moment loading and internal pressure", *Transactions of the ASME: Journal of Pressure Vessel Technology*, **124**, pp. 32-37 (Feb. 2002).
16. Chattopadhyay, J. "The effect of internal pressure on in-plane collapse moment of elbows", *Nuclear Engineering and Design*, **212**, pp. 133-144 (2002).
17. Abdalla, H.F.; Megahed, M.M., and Younan, M.Y.A. "Determination of shakedown limit load for a 90-degree pipe bend using a simplified technique", *Journal of Pressure Vessel Technology*, **128**, pp. 618-624 (Nov. 2006).
18. Timoshenko, S.P., and Goodier, J.N. "Theory of elasticity", 3<sup>rd</sup> ed., McGraw-Hill (1982).
19. Gill, S.S., *The Stress Analysis of Pressure Vessels and Pressure Vessel Components*, Pergamon press (1970).
20. Melo, F.J.M.Q.; Fonseca E.M.M., and Oliveira C.A.M. "Determination of flexibility factors in curved pipes with end restraints using a semi-analytic formulation", *International Journal of Pressure Vessels and Piping*, **79**, pp. 829-840 (2002).
21. Minaeeefar, M. "Stress and strain analysis in curved tubes and pipe-bends", M.Sc. Dissertation, Applied Mechanics Department, Shahid Chamran University, Ahvaz, Iran (2007).
22. ANSYS 9.0, program documentation. SAS IP, Inc. (2004).
23. Melo, F.Q., and Madureira L. "Stress analysis of curved pipes with a hybrid formulation", *International Journal of Pressure Vessels and Piping*, **81**, pp. 243-249 (2004).

